

#### 超高エネルギーニュートリノ観測の将来展望 とARA



千葉大学大学院理学研究科 ハドロン宇宙国際研究センター 吉田滋

## The most energetic universe



#### The Cosmic Rays

**Mostly protons** 

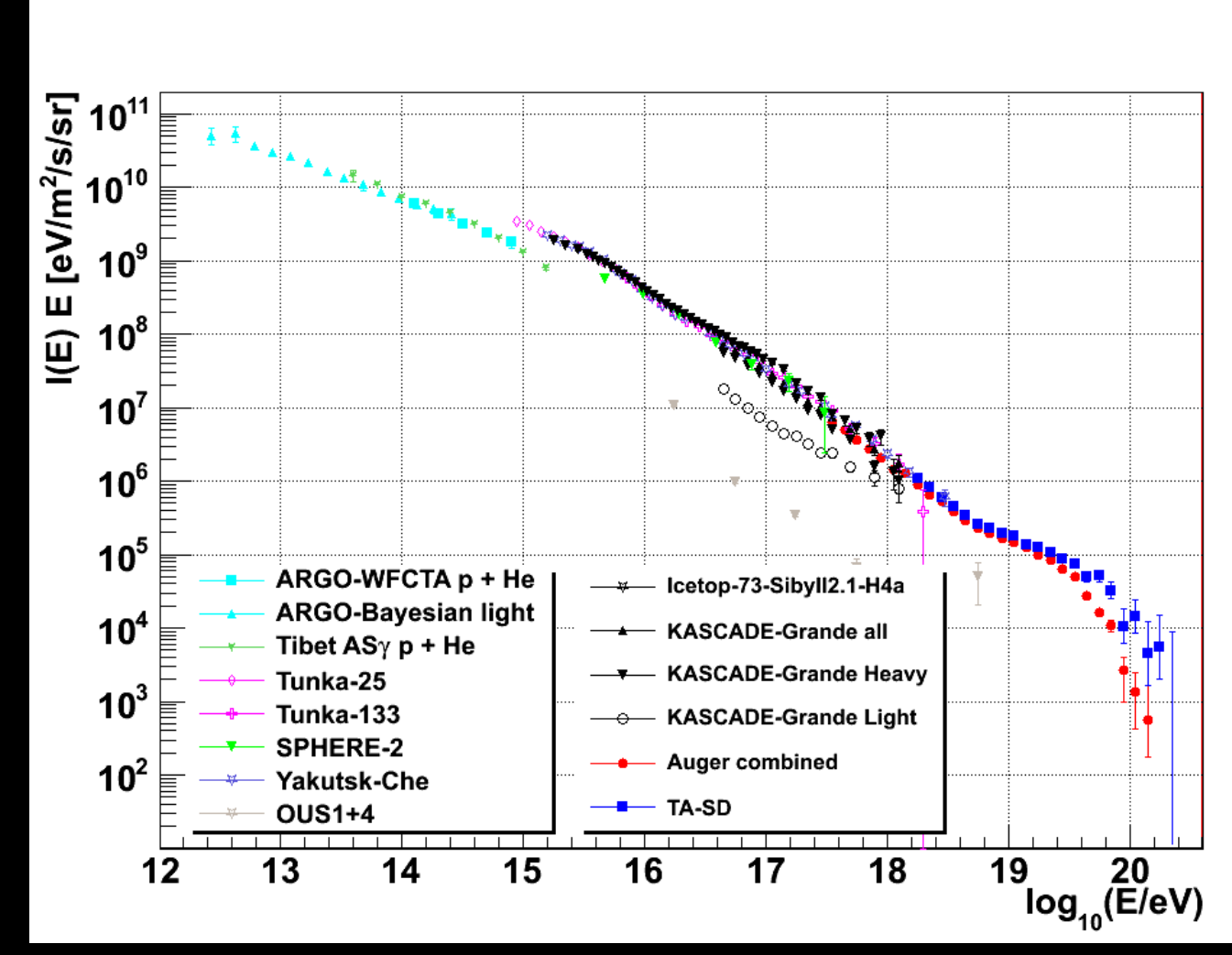
Some light nuculei He, Li, ....

Heavy nuclei (ex. Fe) may dominate at higher energies

Not so sure at the highest energy end

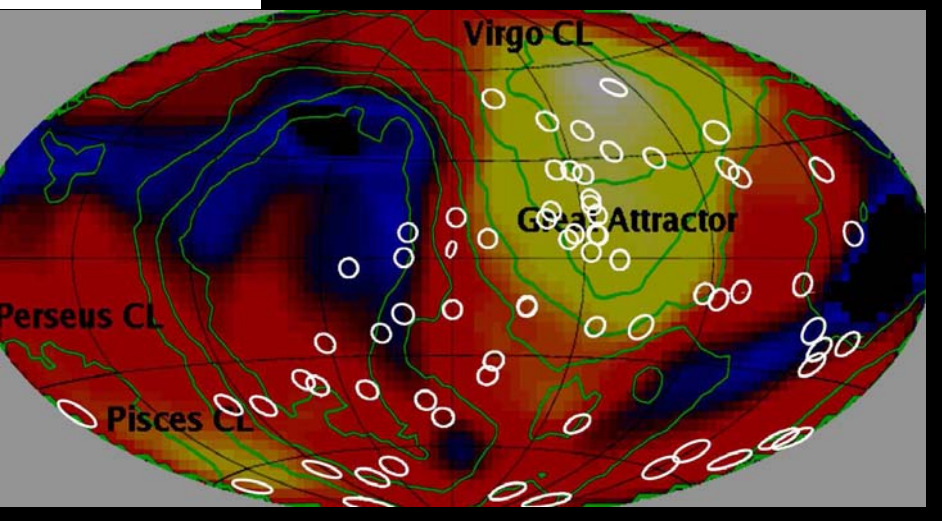
Theoretically favors protons

## The Cosmic Ray Spectrum

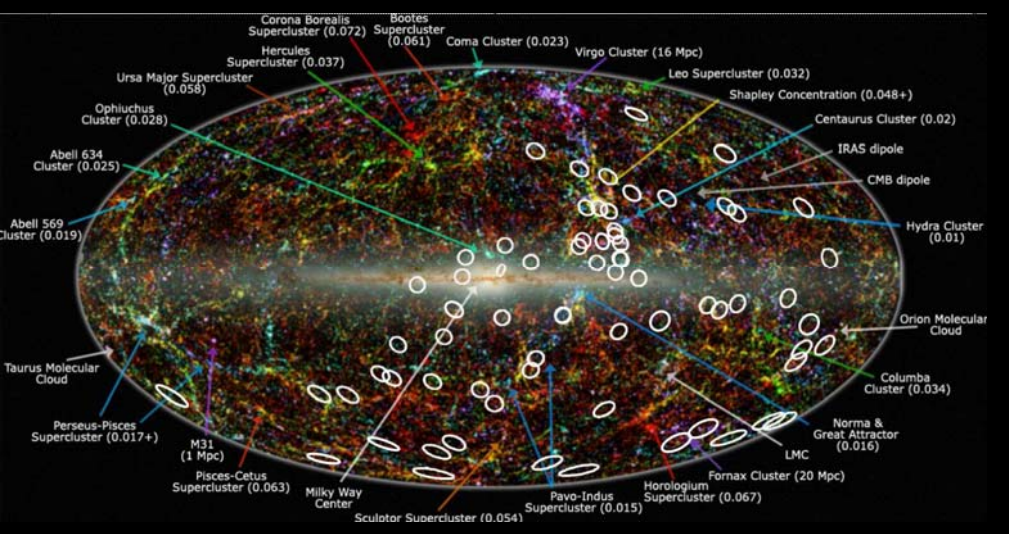




## The challenge



Arrival directions of UHE cosmic-rays measured by Auger and the Integral X-ray map (above) or the nearby clusters (arxiv-1101.0273 D.Fargion et al)



No clear correlations.....

#### Two possibilities

 Our hypotheses on the high energy cosmic ray emitters are totally wrong

We may not be so smart.

2. Cannot handle pointing them back to their radiation points

Magnetic field?

Particle charge?

Proton or even iron?



### Solutions

#### 1. Correct more and more events

A super high statistics may resolve B, charge, and source locations, all of which are uncertain at the moment

#### 2. Neutrinos!!

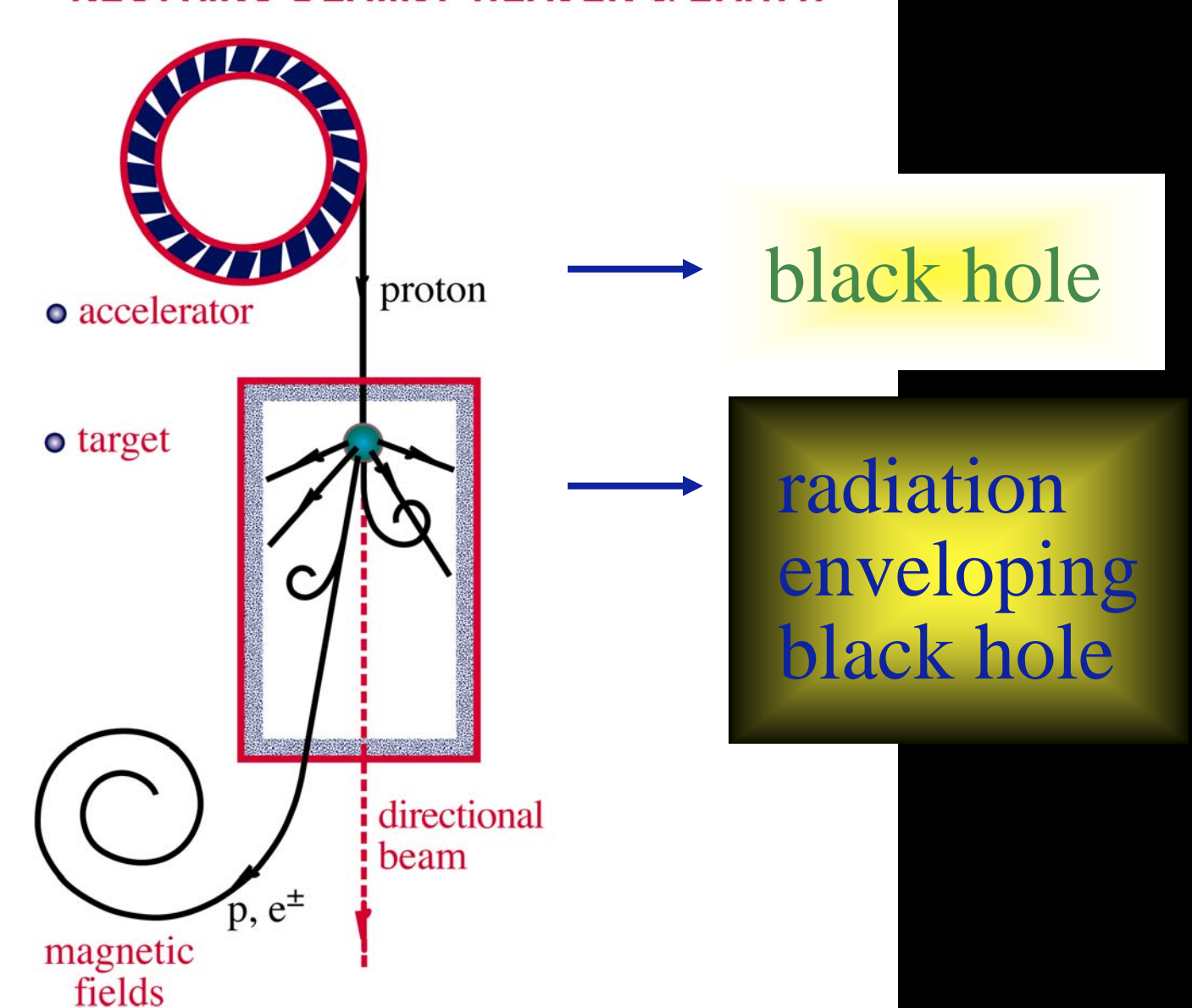
No electric charge. Coming to us straight

Highly complementary – v can travel over a LONG distance

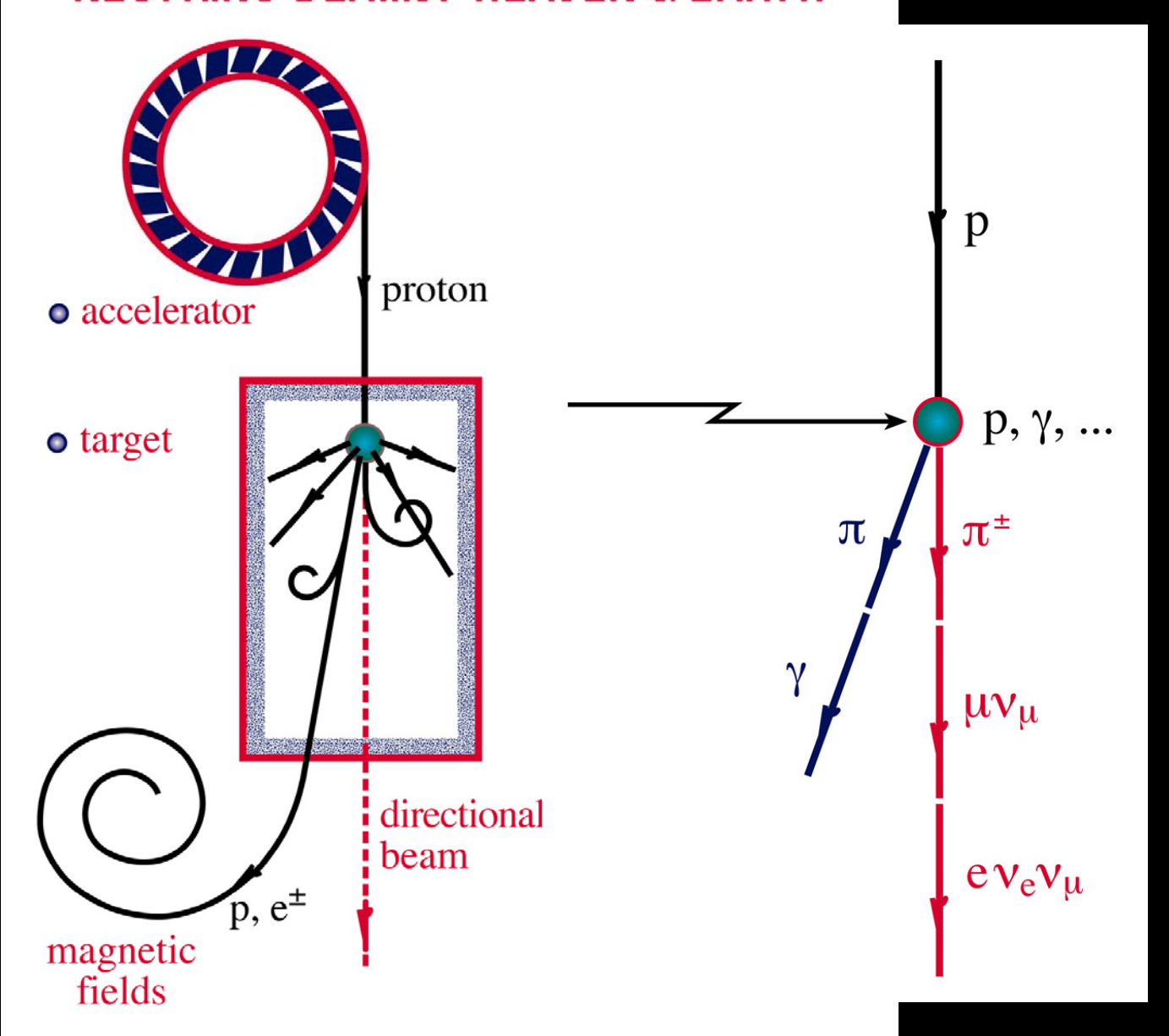
The cons : measurement of v's is really a tough business

They are weakly interacting particles → a huge detector
The atmospheric ν or μ backgrounds dominates
→ needs excellent filtering programs

#### **NEUTRINO BEAMS: HEAVEN & EARTH**

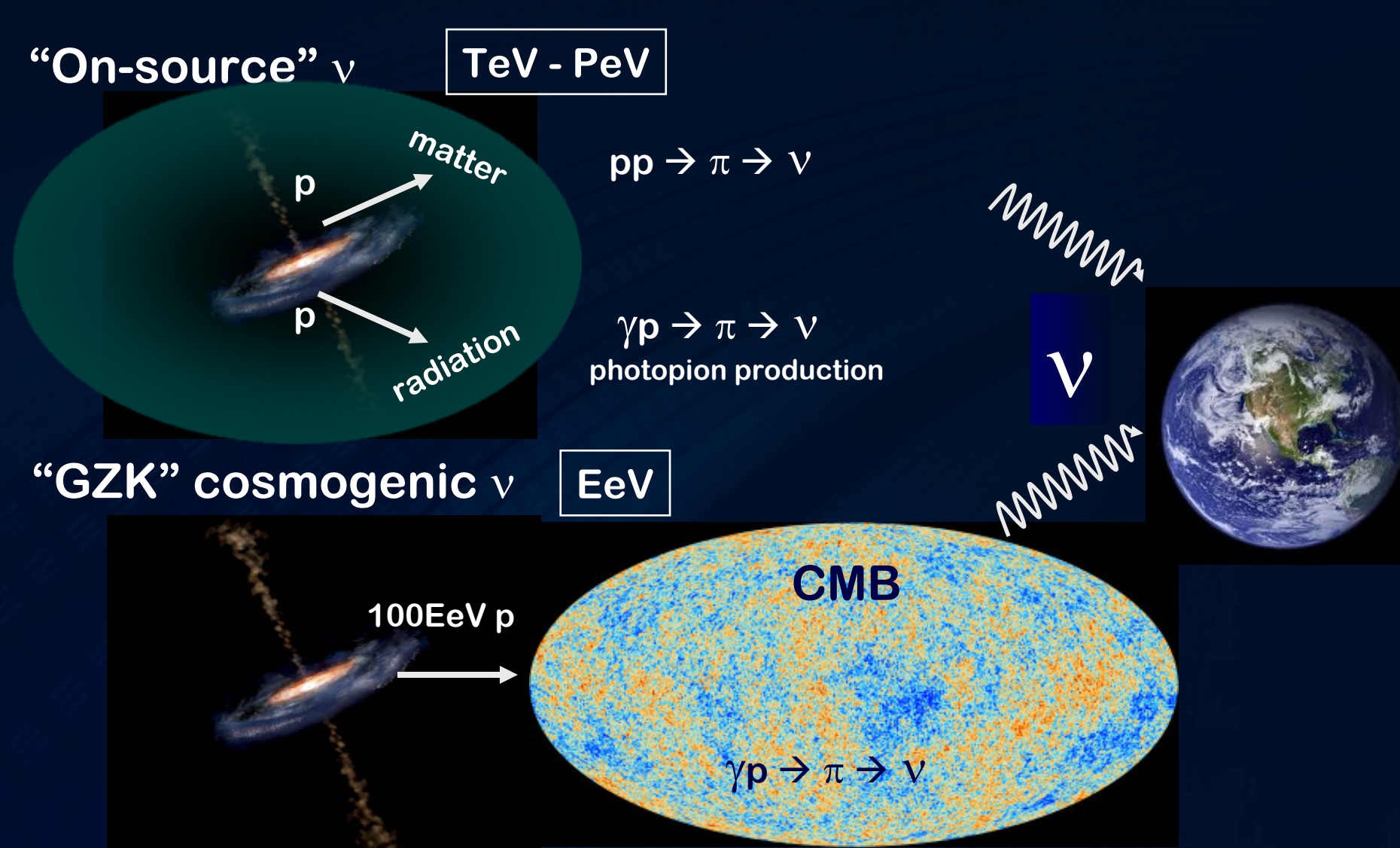


#### **NEUTRINO BEAMS: HEAVEN & EARTH**

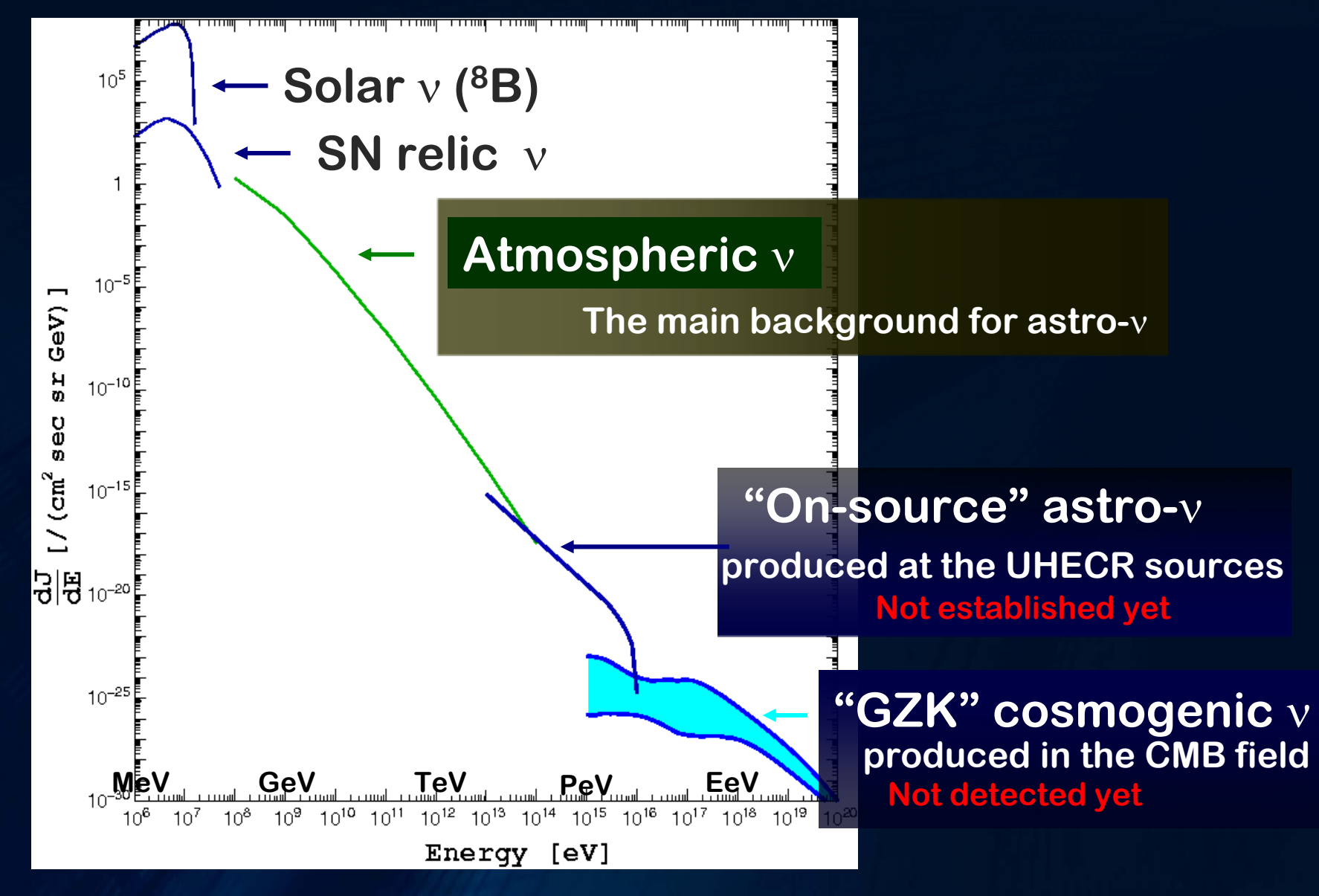




## The Cosmic Neutrinos Production Mechanisms



### The Neutrino Flux: overview



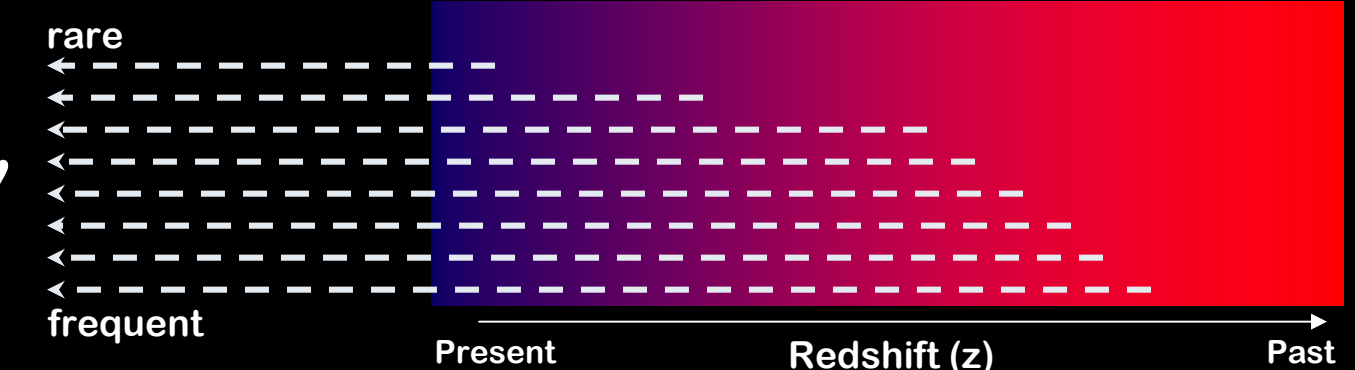


# Tracing *history* of the particle emissions with v flux

color: emission rate of ultra-high energy particles

Intensity gets higher if the emission is more active in the past

because v beams are penetrating over cosmological distances



#### The cosmological evolution

Many indications that the past was more active.

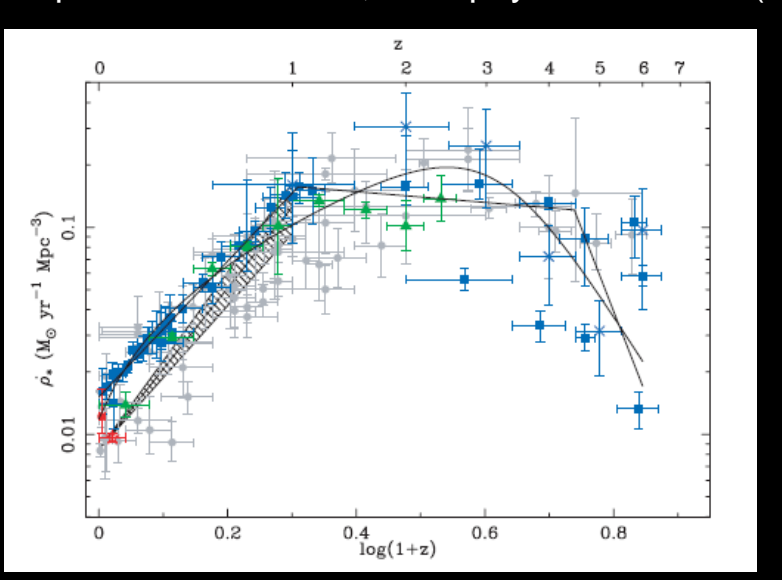
Star formation rate →

The spectral emission rate

$$\rho(z) \sim (1+z)^{m}$$

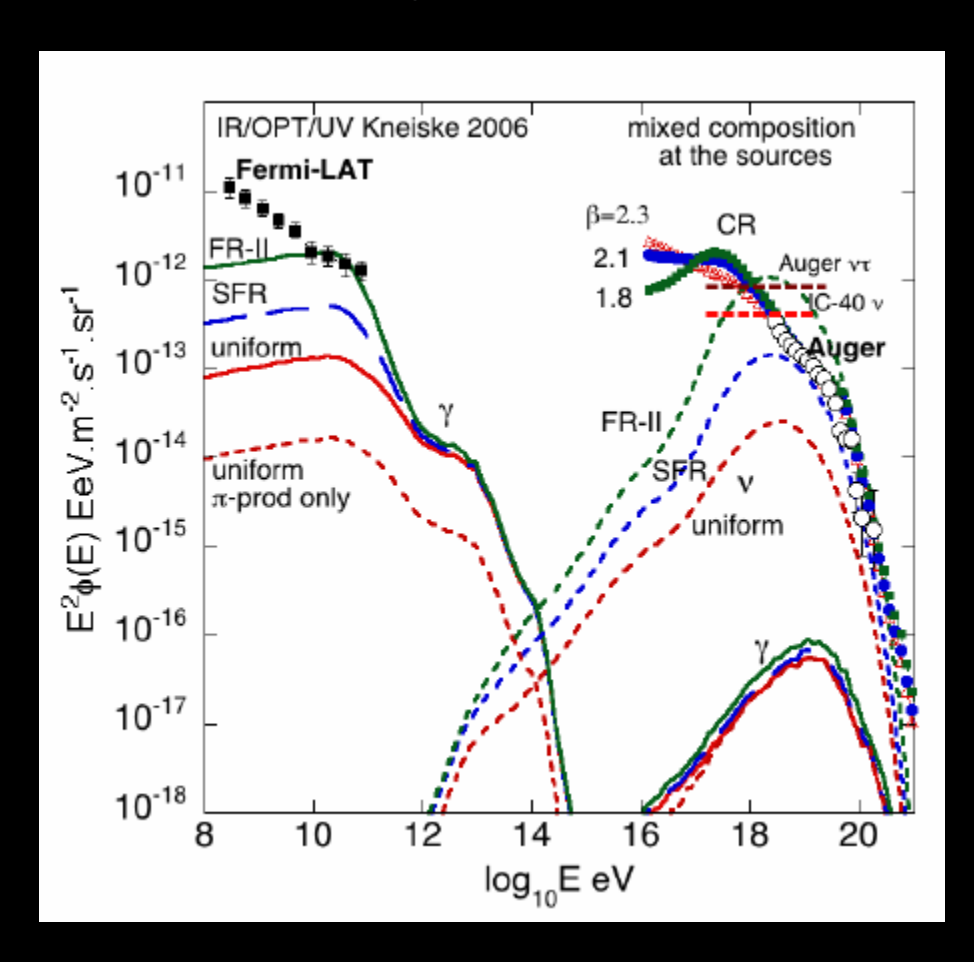
m= 0: No evolution

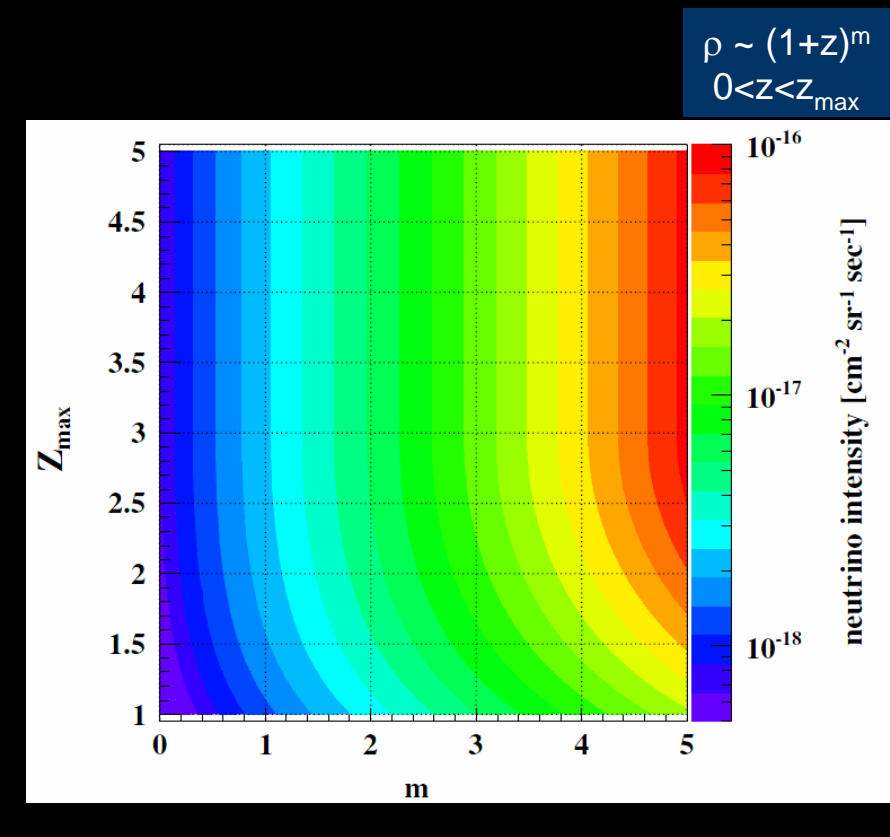
Hopkins and Beacom, Astrophys. J. 651 142 (2006)





## Tracing *history* of the particle emissions with v flux







## "Cover-boy" of Physical Review Letters



#### **NEWSPAPER**



Charrost in a fin high-energy particle distance event from Magnat 2011. Hastified as a ReVenurgy sentrice. Each other represents a highest optimal sentler sensor in the Inc. Cube detection. Sphere size is a measure of the recorded matches of physical series. Calmo represent served times of photons frad, only, blue, blue, Selected for a Systophic in Magnatic and as Additive, Suggestin. BM C. Mettans et al., Reliable Callibration, Rhys. Rev. Latt. 111, 021103 (2011).

#### PHYSICAL REVIEW LETTERS ,,

#### Contents

Articles published 6 July -12 July 2013

	VOLUME 111, NUMBER 2 12 J	uly 2013
	General Physics: Statistical and Quantum Mechanics, Quantum Information, etc.	
	Sculuble Reconstruction of Density Mutrices T. Burmy uts, D. Gross, M. Crumer, and M.B. Plexic	020401
	Particles, Holes, and Solitons: A Matrix Product State Appearch Damins Durcles, Julio Haegemas, Tobias J. Osborne, Vid Stojevic, Luxuns Vanderstundes, and English Vanderstundes.	020402
	Bossday Temposal Quartem Corelations Costantiso Badonsi, Tobias Moreder, Matthias Kleismann, and Officed Gylne	020403
	Quantum Teleportution of Dynamics and Effective Interactions between Remote Systems  Christine A. Muschik, Klemens Hamme et, Engele S. Polkik, and Ignacio J. Cirac	020501
	Secure Entraylement Distillation for Double-Server Blind Quantum Computation Tomoyaki Morimue and Keisake Fujii	020502
	Fuithful Solid State Optical Memory with Dynamically Decoupled Spin Wave Stonge	
	Quantum Frame seas for CFT Symmetry Michael Skottisistis, Borza Toloni, Iua T. Durhum, and Barry C. Sanders	
	Nestall Stothstolk, Borra Inton, Int 1, Dirlam, and Barry C. Sanden. Nestalditivity in Quasicquilibrium States of Spin Systems with Intitice Distortion Tähnshi Mori	020601
	Gravilation and Astrophysics	
	Observables of a Test Muss along an Inclined Orbit in a Pest-Newtonius-Approximated Kern Spacetime Including the Linear and Quadratic Spin Terms Seven Hergt Abbay Stat, and Gerhard Schuler	021101
	These Dimensional Model of Cosmic-Ray Lepton Propagation Reproduces Data from the Alpha Magnetic Spectrometer on the International Space Station Duniele Guygero, Licat Maccione, Gines pp. Di Bernardo, Carmelo Broth, and Dunio Grassco	
ř	First Observation of PeV-Energy Neutrices with InsCabe  M.G. Aurises et al. (InsCabe Collaboration)	021103
ľ	Limits on Spin-Dependent WIMP-Nucleon Costs Sections from 225 Live Duys of XENONIOO Data	
	Effective Field Theory Appearsh to Gravitationally Induced Decode exce  M.P. Blencowe	021302

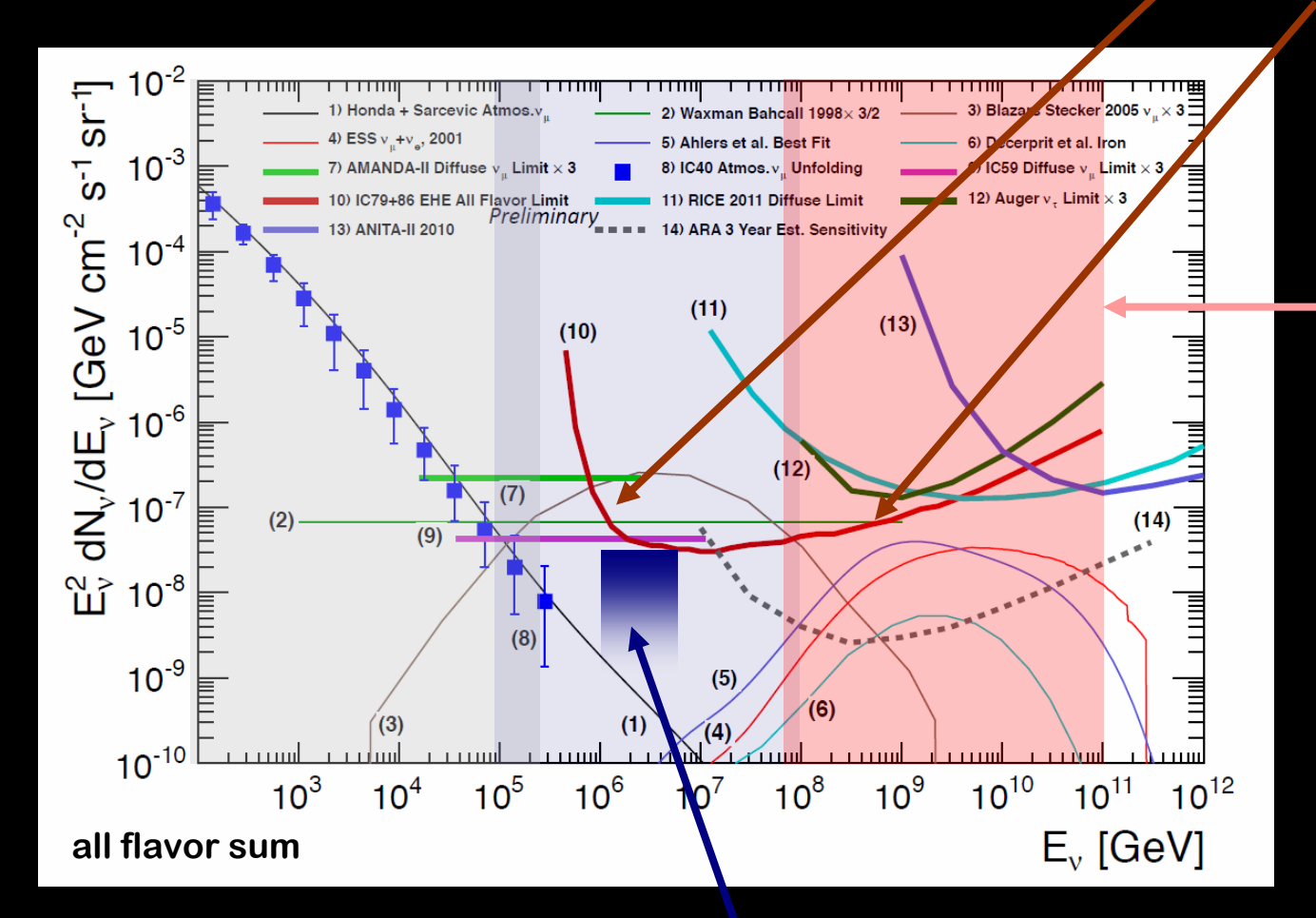




## The executive summary



The model-independent upper limit on flux in UHE



## null observation in this regime

#### nearly exclude

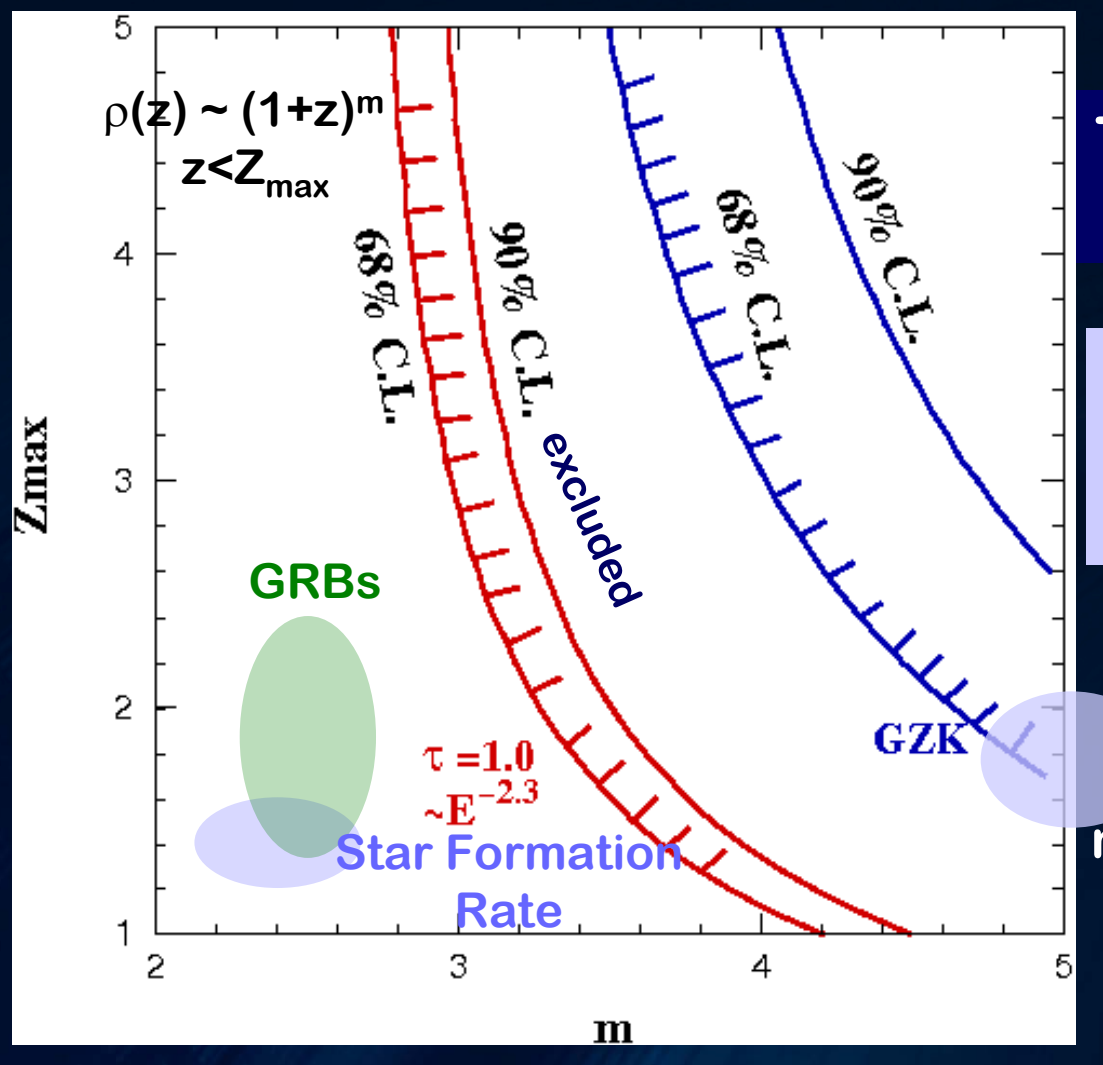
- radio-loud AGN jets
- m>4 for (1+z)m
- $\bullet$  emission maximally allowed by the Fermi  $\gamma$

Bert & Ernie + O(10) sub-PeV events
4.1 σ excess over atmospheric



# The Constraints on evolution (=emission history) of UHE cosmic ray sources





The solid bound by the GZK v

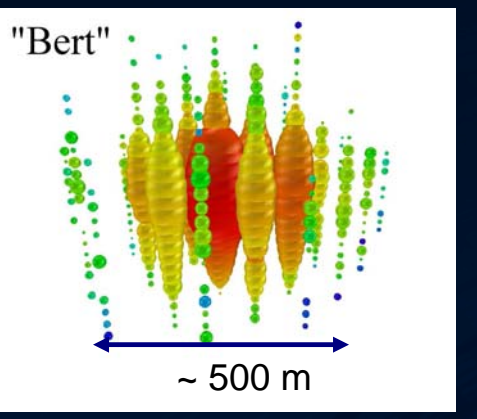
by the on-source v
if optical depth ~1

AGNs with radio-loud jets

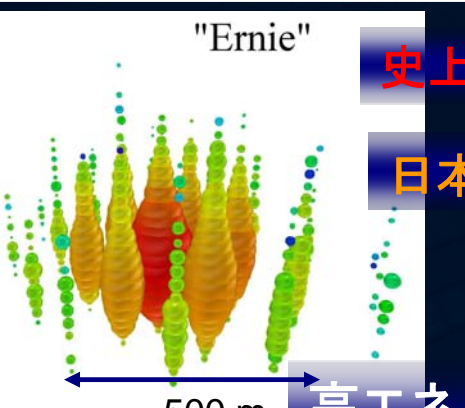
no high-redshift emission consistent with the star formation rate

#### IceCube を高エネルギー領域で拡張する

PeV (=10<sup>15</sup> eV)のエネルギーをもつニュートリノ2事象の同定に世界で初めて成功



2011年8月8日



史上最高エネルギー(LHC x 1000)のニュートリノ

#### 日本グループの解析により探索・同定された

これらが宇宙ニュートリノ以外のバックグラウンド として現れる確率は ~10<sup>-3</sup>

~500 m 高エネルギー宇宙ニュートリノは確かに存在する。

2012年1月3日

2事象の「エネルギー」分布と理論的な予測

この2事象を説明する機構は幾つかある(遠方宇宙のγ線バースト天体等)

統計を格段にあげる必要

sum of atmospheric background
atmospheric  $\mu$ atmospheric  $\nu$  conventional
cosmogenic  $\nu$  Ahlers et al.  $E^2\phi(\nu_e+\nu_\mu+\nu_\tau)=3.6 \mathrm{x} 10^{-8} \mathrm{GeV} \mathrm{sr}^{-1} \mathrm{cm}^{-2} \mathrm{s}^{-1}$   $10^{-2}$   $10^{-3}$ 

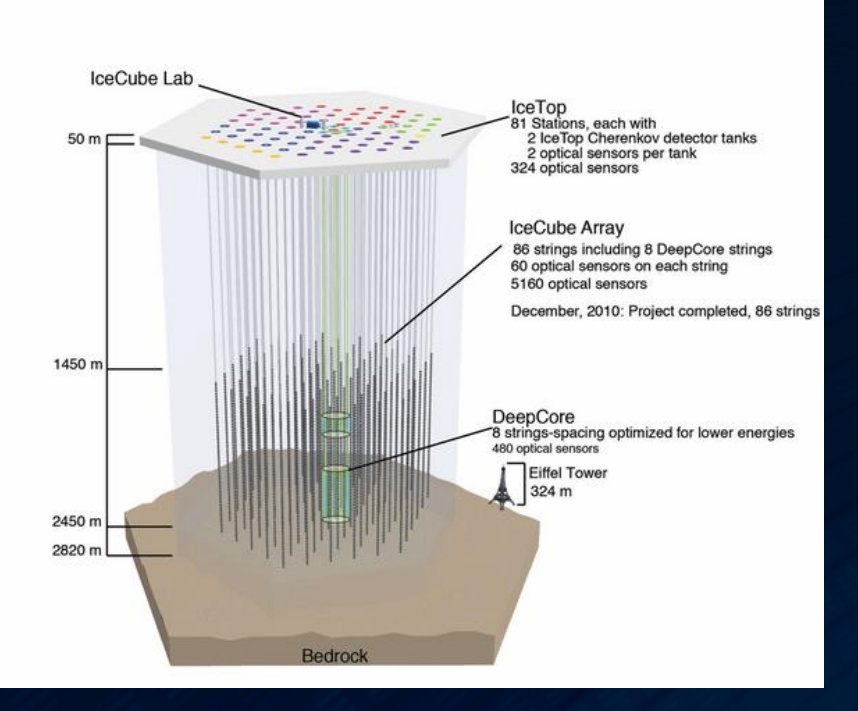
2事象検出から推定される PeV以上の $\nu$  信号の数 0.5~3 事象/年/1km $^3$ 

宇宙初めからの放射の歴史に依る

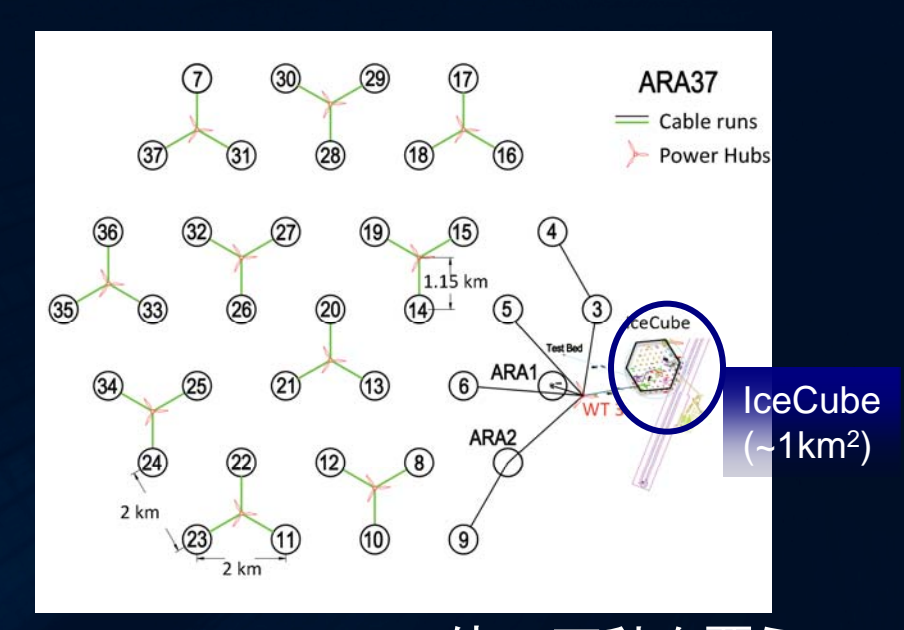
今現在実現された観測有効体積 これを増やすことが本質

IceCube とその拡張実験(ARA)によって、こうした事象を約50例検出する。

#### IceCube + ARA(Askaryan Radio Array)



IceCube 実験の解析手法をさらに改善 することで、PeV領域での高感度長期間 観測の実施



IceCubeの100倍の面積を覆う 拡張実験「ARA」をIceCube に隣接 したエリアに建設

Ш

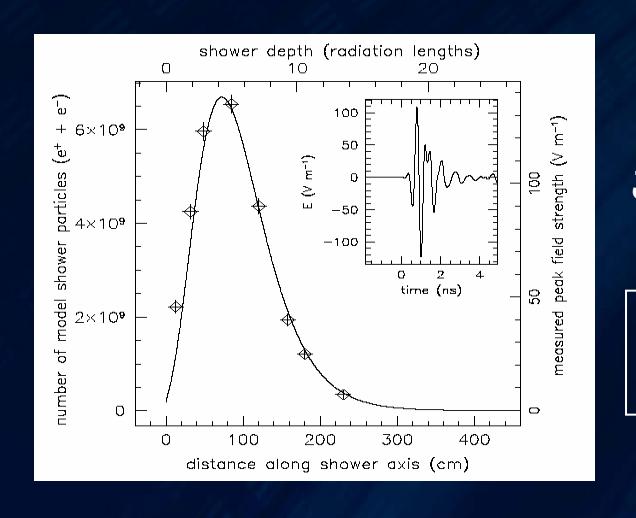
複合ニュートリノ望遠鏡による高信頼度高統計観測により高エネルギー 宇宙ニュートリノ科学を「検出」から「測定」へとパラダイムを変える。

IceCube の 100 倍の面積を合理的なコストで覆うにはニュートリノ反応からの電波放射を捉える 手法の確立が不可欠

IceCube (スーパーカミオカンデ実験も同様)で測定しているチェレンコフ光放射の<u>電波領域の極限</u> Askaryan 効果と呼ばれる

$$\frac{d^2W}{d\nu dl} = \left[\frac{4\pi^2\hbar}{c}\alpha\right]z^2\nu\left[1 - \frac{1}{\beta^2n^2}\right],$$

よく知られた チェレンコフ放射の表式で 表される。



電子ビームを標的に照射する実験で 検証された

この「チェレンコフ電波放射」の特徴

Phys.Rev.Lett. 99 171101 (2007)

- コヒーレントな位相で放射
- 縦編光である

→ 雑音との弁別 が容易

IceCube の 100 倍の面積を合理的なコストで覆うにはニュートリノ反応からの電波放射を捉える手法の確立が不可欠

IceCube (スーパーカミオカンデ実験も同様)で測定しているチェレンコフ光放射の<u>電波領域の極限</u> Askaryan 効果と呼ばれる

#### よく聞かれる質問

チェレンコフ放射は ~1/λ². 波長が長い電波領域は強度が足りないのでは?

答え

もはや光子ではなく、波。ポインティングベクトル(=Energy)が測定感度を決める。

1個の荷電粒子からの電場

$$R\vec{E}(\omega,\vec{x}) = \frac{e\mu_{\rm r} i\omega}{2\pi\epsilon_0 c^2} \vec{\delta} \vec{l}_{\perp} \frac{e^{i(\omega - \vec{k} \cdot \vec{v})t} e^{ikR}}{\Delta t}$$

ここがコヒーレントであれば、強度=Poynting Vector は荷電粒子数の2乗に比例

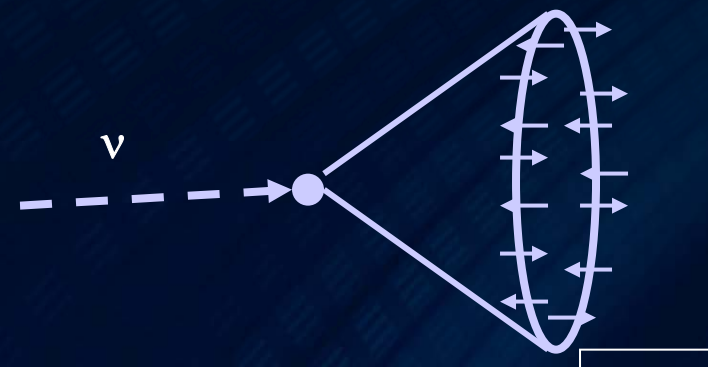
IceCube の 100 倍の面積を合理的なコストで覆うにはニュートリノ反応からの<mark>電波放射を捉える</mark> 手法の確立が不可欠

IceCube (スーパーカミオカンデ実験も同様)で測定しているチェレンコフ光放射の<u>電波領域の極限</u> Askaryan 効果と呼ばれる

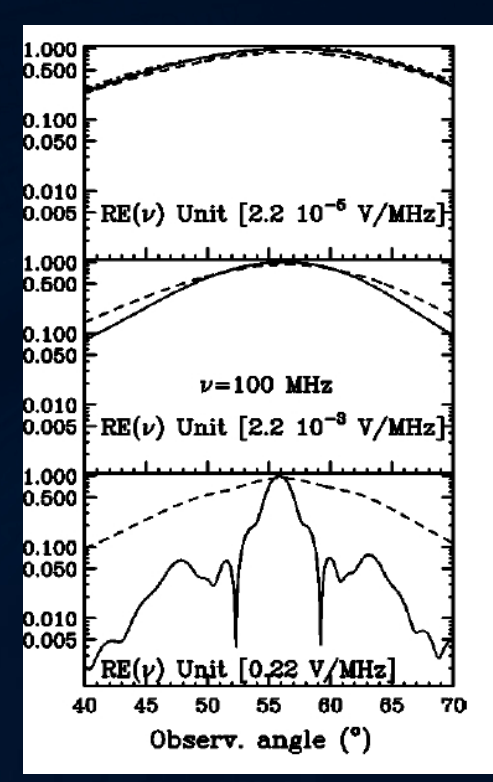
#### コヒーレント性

氷河中での電磁カスケードの大きさは L~ O(m) 程度

$$\frac{\omega}{c} (1 - n^{ice} \cos \theta_{ch}) L = 0.38 \left(\frac{v}{300MHz}\right) << 1$$



- コヒーレントな位相で放射
- 縦編光である



→ 雑音との弁別
が容易



電波雑音の弁別が鍵

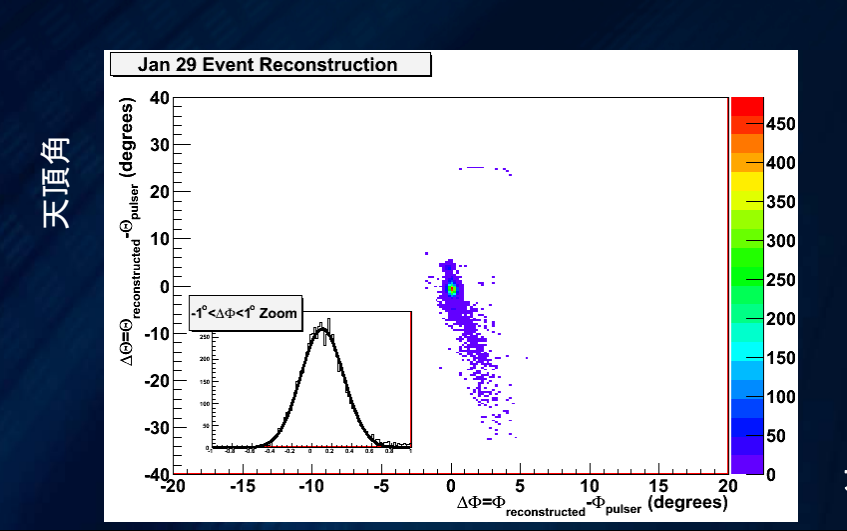
南極現地での R&D



ニュートリノ反応に無関係な電波雑音は氷河の外からくる 太陽からのRF、熱雑音、人工活動雑音

ニュートリノ反応事象は、電波ノイズの無い氷河深部からくる

深度2600 m に埋設したパルサーからの擬似信号を弁別して、 方向(=深氷河、すなわち下方向からきた)を推定することができるか?



反応点の方向を再構成できた。

方位角

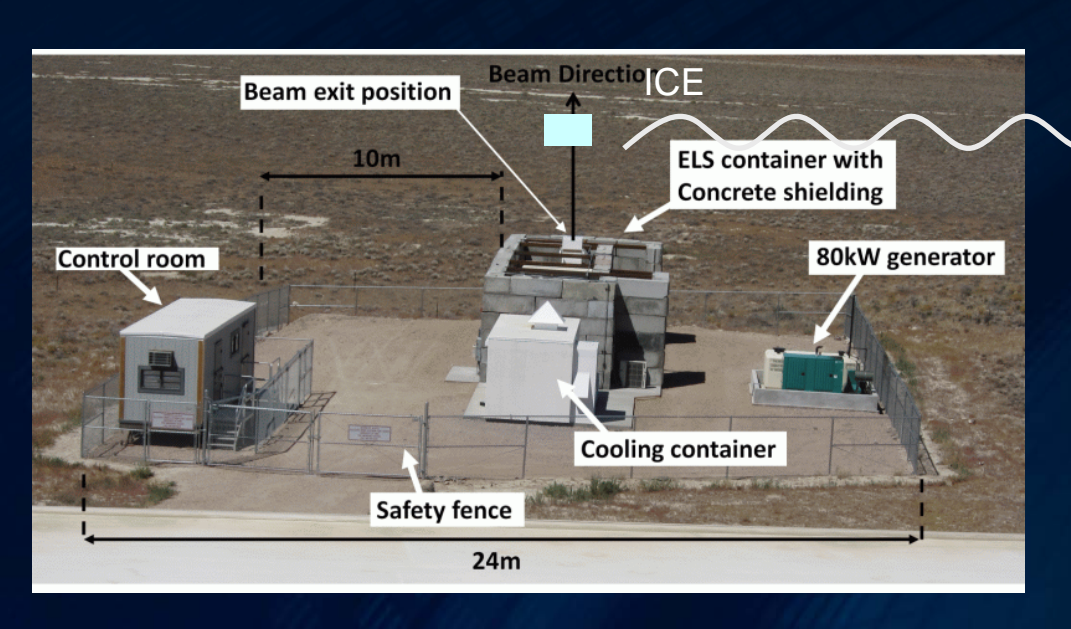


#### **End-to-End calibration**

$$R|\vec{E}(\omega,\vec{x})| \simeq \frac{e\mu_{\rm r} i\omega}{2\pi\epsilon_0 {\rm c}^2} {\rm e}^{ikR} \sin\theta \int dz Q(z) {\rm e}^{ipz}.$$

cascade 中の電荷超過 電子数>>陽電子数

#### LINAC at the Telescope Array site

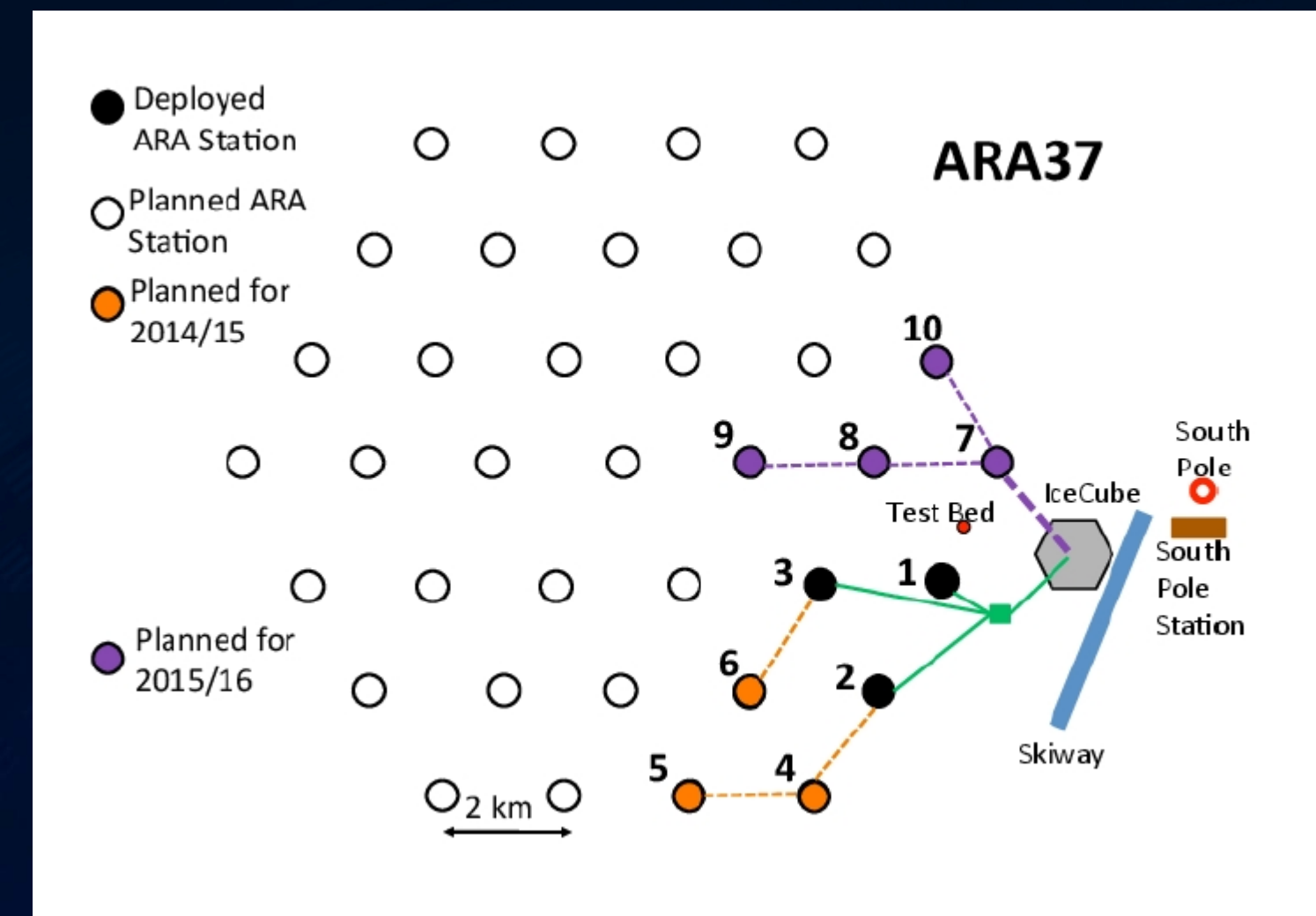




来年度冬の実験開始を目指している。

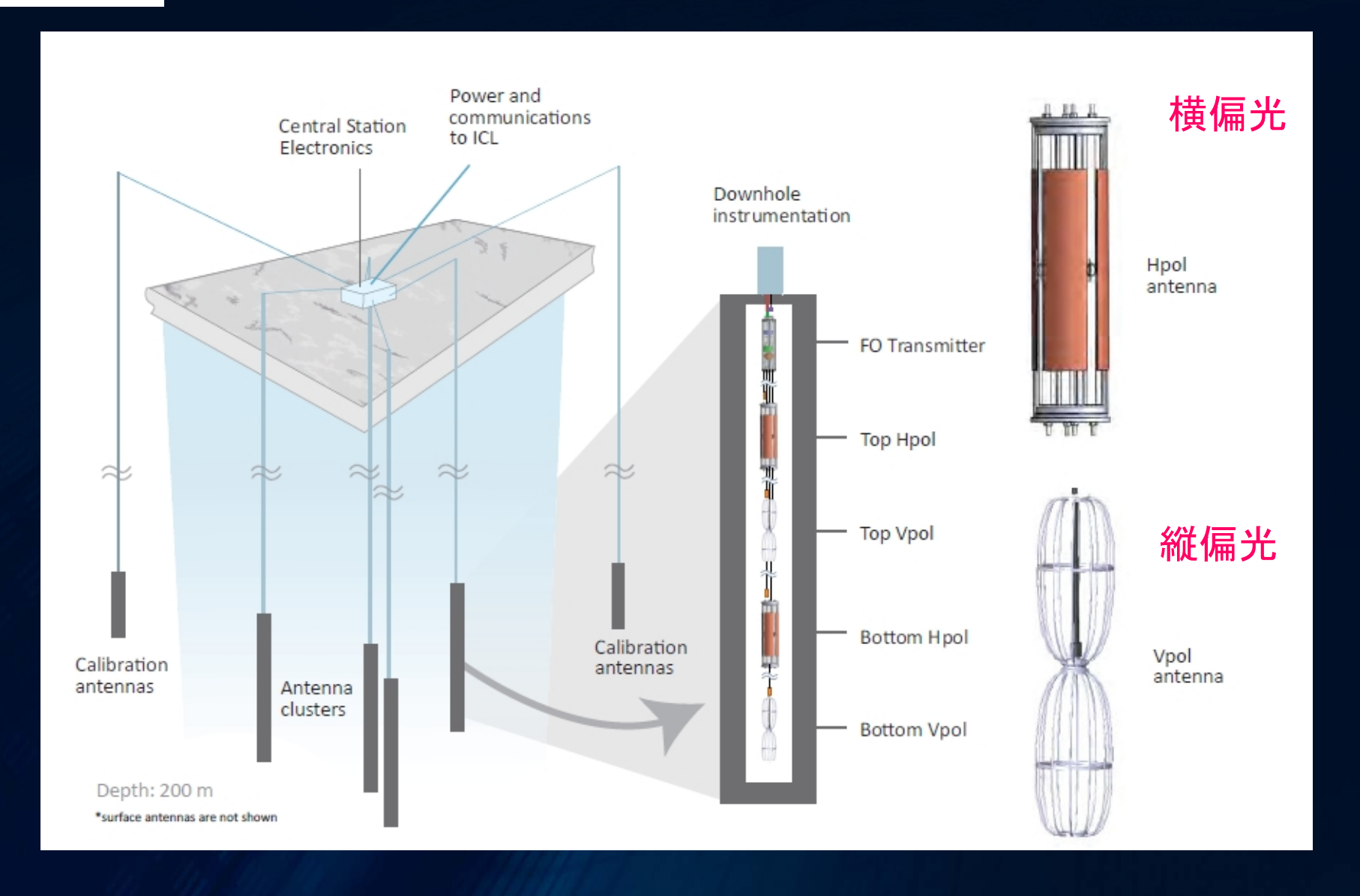


## ARA Askaryan Radio Array



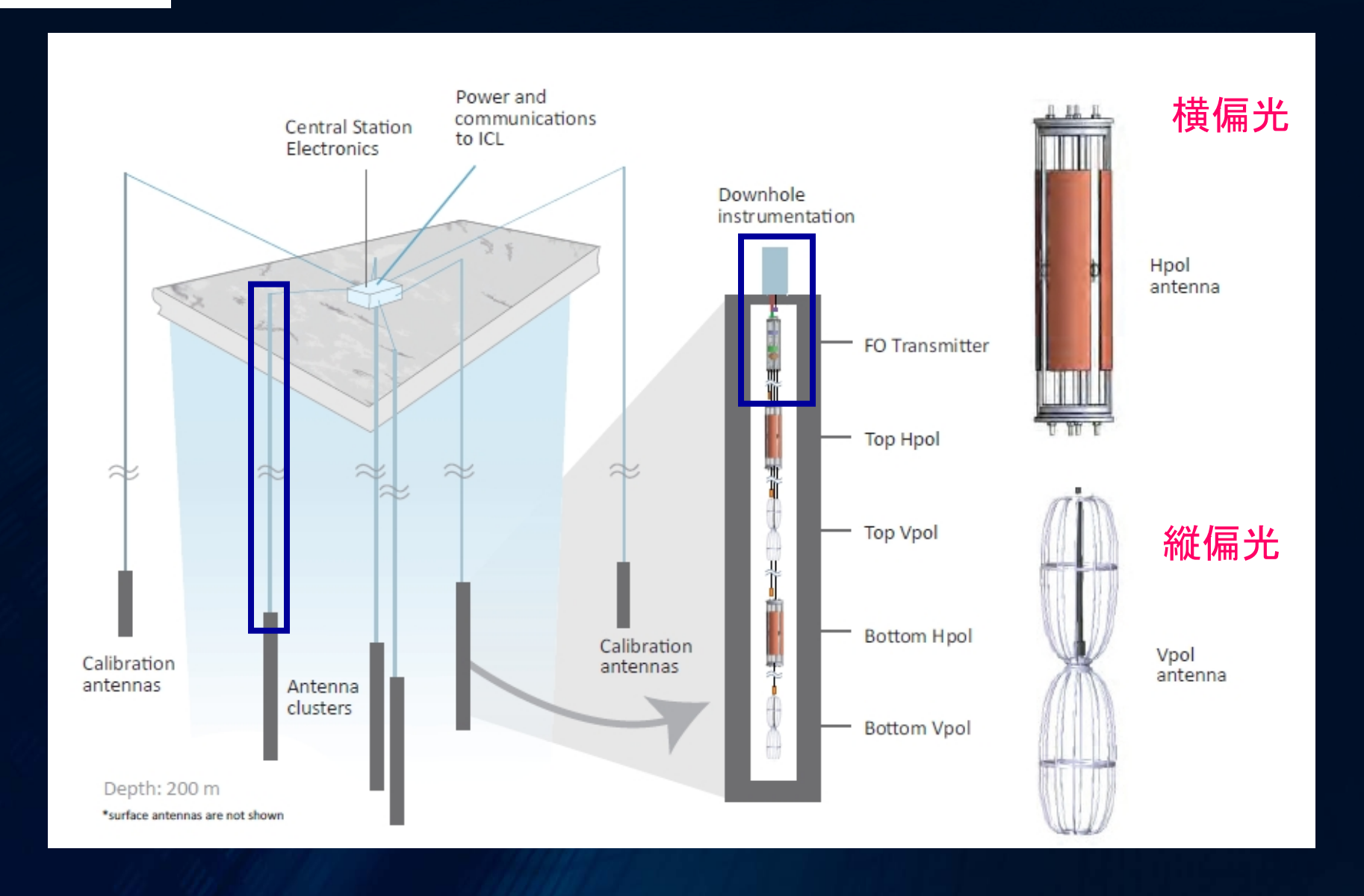


## **The Station Layout**





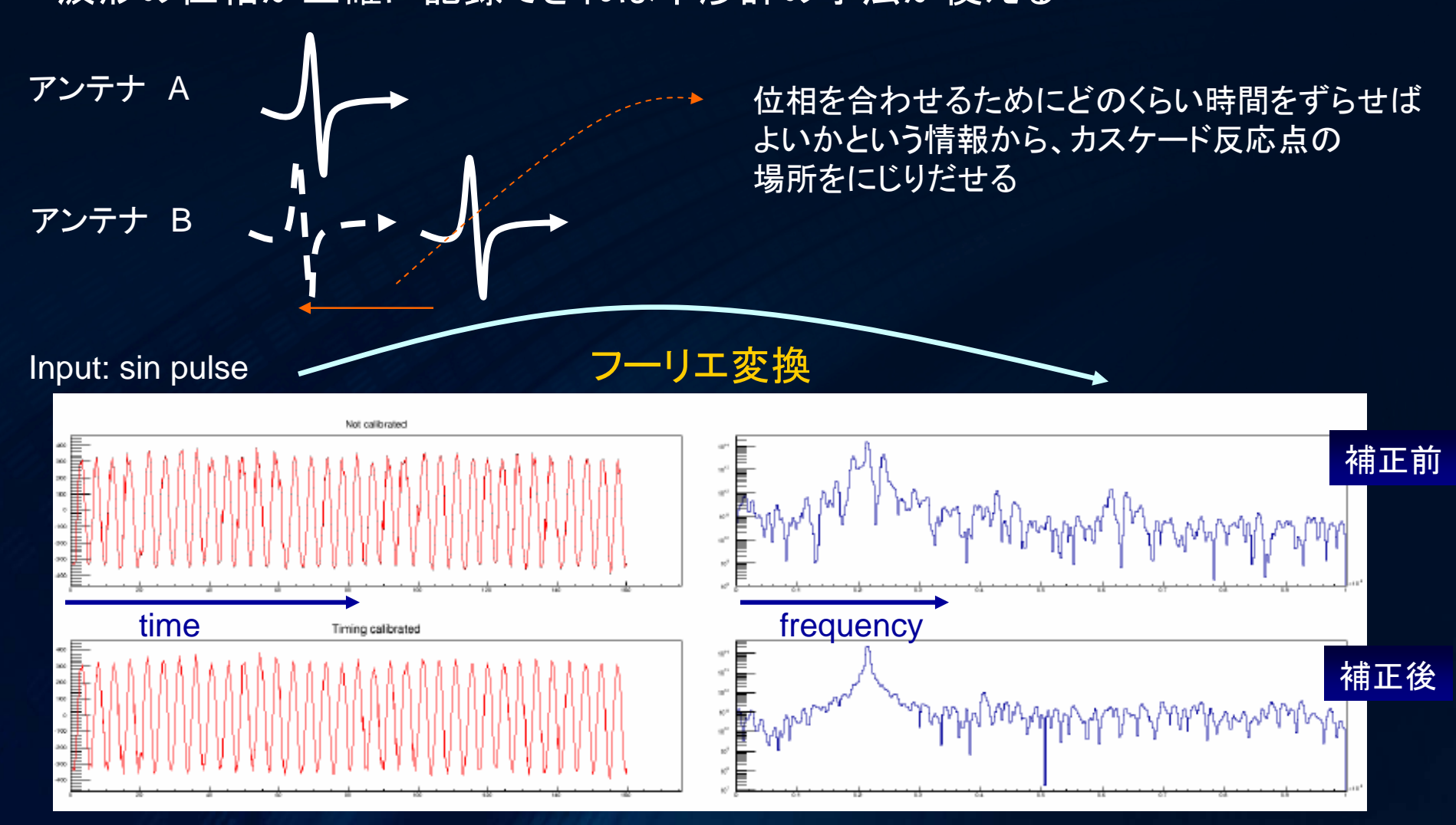
## 2013年度の日本の主担当





## An Example of the calibration Waveform Timing Correction

波形の位相が正確に記録できれば干渉計の手法が使える





#### 2014年度以降の日本の主担当

- 引き続き 光信号伝送部分
- 3 station 分のアンテナ製造国内での製造ラインを現在計画中
- Linac を使った end-to-end calibration
- IceCube との統合シミュレーション・解析
   IceCube サイドで超高エネルギーッ探索を主導している強み



### 2014年度以降の日本の主担当

- 引き続き 光信号伝送部分
- 3 station 分のアンテナ製造国内での製造ラインを現在計画中
- Linac を使った end-to-end calibration
- IceCube との統合シミュレーション 解析 IceCube サイドで超高エネルギーν 探索を主導している強み



一緒にやらないかい



## 2014年度以降の日本の主担当

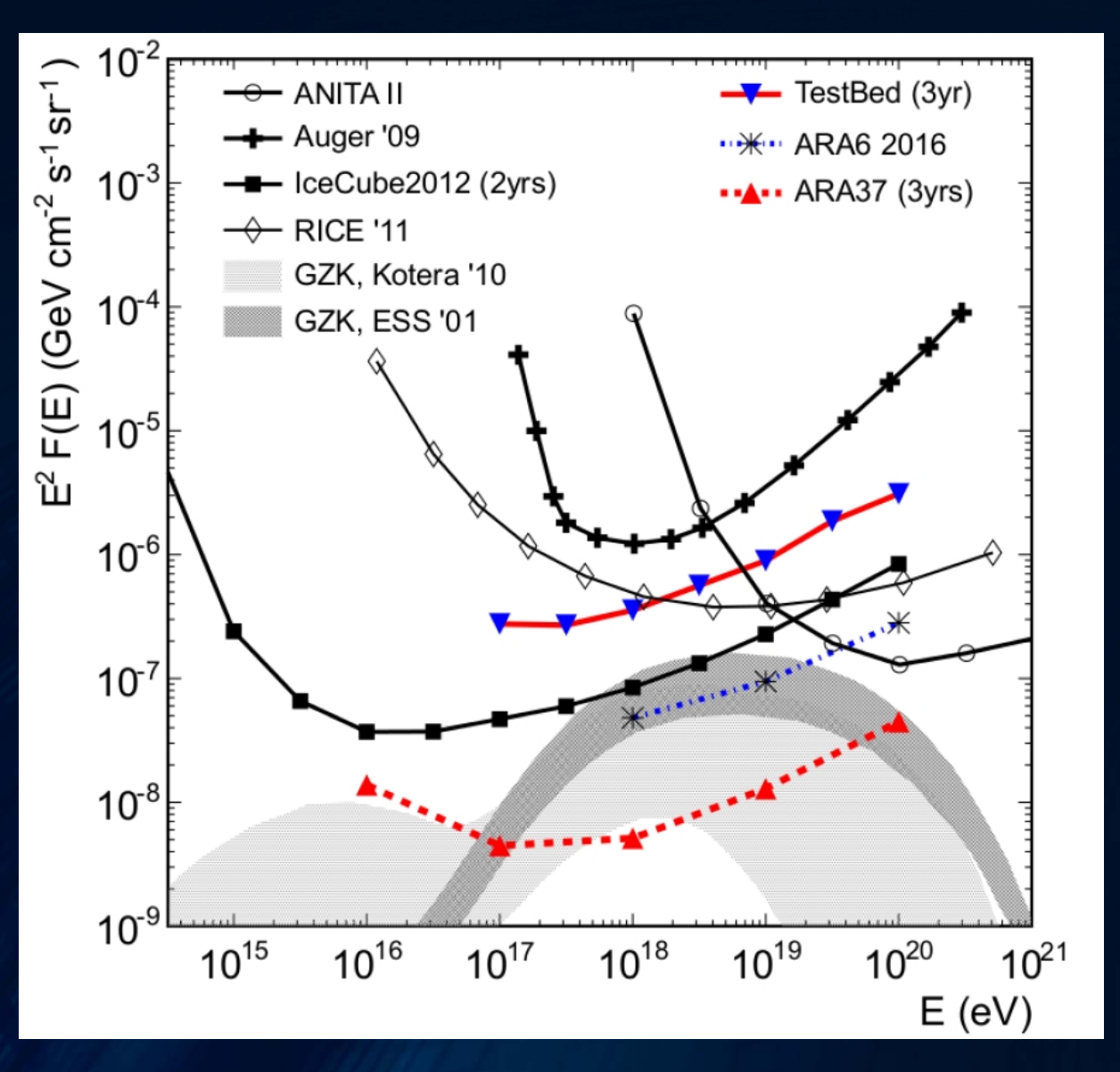
- 引き続き 光信号伝送部分
- 3 station 分のアンテナ製造国内での製造ラインを現在計画中
- Linac を使った end-to-end calibration
- IceCube との統合シミュレーション・解析
   IceCube サイドで超高エネルギーν探索を主導している強み



ボーリング大会に優勝 したついでに やってやるぜ



## The ARA Sensitivity





## ARA Askaryan Radio Array

